



# ELECTRODINÁMICA

J.C. Jiménez Sáez  
 S. Ramírez de la Piscina Millán  
 U.D. Física II  
 Departamento de Física Aplicada a las Ingenierías Aeronáutica y Naval

Curso 2014/15



## ÍNDICE

FLUJO MAGNÉTICO  
 DENSIDAD DE CORRIENTE EN UN CAMPO MAGNÉTICO  
 INDUCCIÓN ELECTROMAGNÉTICA  
 LEY DE INDUCCIÓN DE FARADAY  
 ECUACIÓN DE MAXWELL DE LA INDUCCIÓN  
 COEFICIENTE DE AUTOINDUCCIÓN  
 COEFICIENTES DE INDUCCIÓN MUTUA  
 ASOCIACIÓN DE INDUCTANCIAS  
 SERIE  
 PARALELO  
 ENERGÍA MAGNÉTICA

J.C. Jiménez Sáez  
 S. Ramírez de la Piscina Millán  
 U.D. Física II  
 Departamento de Física Aplicada a las Ingenierías Aeronáutica y Naval





# ÍNDICE

CORRIENTE DE DESPLAZAMIENTO  
 CONSERVACIÓN DE LA CARGA ELÉCTRICA  
 ECUACIONES DE MAXWELL EN FORMA DIFERENCIAL  
 ECUACIONES DE MAXWELL EN FORMA INTEGRAL  
 RELACIÓN DEL CAMPO ELÉCTRICO CON LOS  
 POTENCIALES  
 ELECTROSTÁTICA Y MAGNETOSTÁTICA

J.C. Jiménez Sáez  
 S. Ramírez de la Piscina Millán  
 U.D. Física II  
 Departamento de Física Aplicada a las Ingenierías Aeronáutica y Naval



# ÍNDICE

## APLICACIONES

DENSIDAD DE CORRIENTE EN UN CAMPO MAGNÉTICO  
 VARILLA CONDUCTORA EN MOVIMIENTO EN EL SENO DE UN CAMPO  
 MAGNÉTICO  
 LEY DE INDUCCIÓN DE FARADAY  
 VARIACIÓN DE FLUJO EN UN SISTEMA EN MOVIMIENTO  
 CIRCUITO CON VELOCIDAD  $\vec{v}$ , SIN PILAS Y  $\vec{B}$  ESTACIONARIO  
 CIRCUITO DEFORMABLE  
 CIRCUITO FIJO, SIN PILAS Y  $\vec{B}$  VARIABLE: ECUACIÓN DE MAXWELL  
 DE LA INDUCCIÓN  
 CIRCUITO RÍGIDO EN  $\vec{B}$  VARIABLE  
 CIRCUITO CON VELOCIDAD  $\vec{v}$ , SIN PILAS Y  $\vec{B}$  VARIABLE  
 CIRCUITO DEFORMABLE EN  $\vec{B}$  VARIABLE

J.C. Jiménez Sáez  
 S. Ramírez de la Piscina Millán  
 U.D. Física II  
 Departamento de Física Aplicada a las Ingenierías Aeronáutica y Naval





# ÍNDICE

## APLICACIONES

### COEFICIENTE DE AUTOINDUCCIÓN

SOLENOIDE ESTRECHO Y LARGO

### COEFICIENTES DE INDUCCIÓN MUTUA

DOS SOLENOIDES ESTRECHOS Y LARGOS

### ENERGÍA MAGNÉTICA

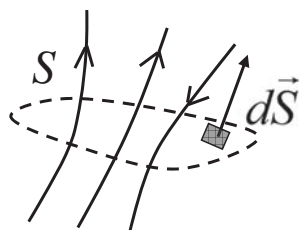
SOLENOIDE ESTRECHO Y LARGO

J.C. Jiménez Sáez  
S. Ramírez de la Piscina Millán  
U.D. Física II  
Departamento de Física Aplicada a las Ingenierías Aeronáutica y Naval



## FLUJO MAGNÉTICO

El flujo del vector inducción magnética  $\vec{B}$ , a través de una superficie, se denomina flujo magnético y su expresión es:



$$\phi = \int_S \vec{B} \cdot d\vec{S}$$

$$\phi = 2 - 1 = 1$$

Contabiliza las líneas de campo que pasan por  $S$ , por tanto, mide su intensidad en la superficie.

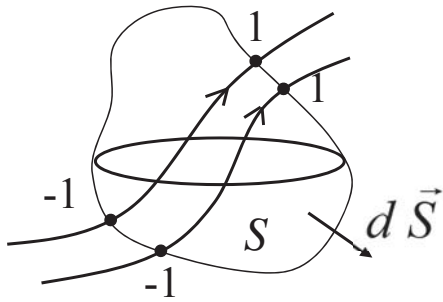
En el SI la unidad de flujo magnético es el weber (símbolo Wb).  
Por ello, el campo  $\vec{B}$  también se puede expresar en Wb/m<sup>2</sup>.

J.C. Jiménez Sáez  
S. Ramírez de la Piscina Millán  
U.D. Física II  
Departamento de Física Aplicada a las Ingenierías Aeronáutica y Naval





# FLUJO MAGNÉTICO



$$\nabla \cdot \vec{B} = 0 \rightarrow \phi = \oint_S \vec{B} \cdot d\vec{S} = 0$$

Propiedad: Si la superficie es cerrada el flujo es cero



No nacen ni mueren líneas dentro



No hay fuentes

J.C. Jiménez Sáez  
S. Ramírez de la Piscina Millán  
U.D. Física II  
Departamento de Física Aplicada a las Ingenierías Aeronáutica y Naval



# DENSIDAD DE CORRIENTE EN UN CAMPO MAGNÉTICO

Un campo eléctrico  $\vec{E}$  y uno magnético  $\vec{B}$  y un conductor en movimiento con velocidad  $\vec{v}$  dan lugar a una densidad de corriente de cargas libres (electrones).

$$\vec{J} = q_e n_e \vec{u}$$

Carga del electrón (negativa)

Velocidad promedio de cargas en el  $dv$

Número de cargas por unidad de volumen

Fuerza de Lorentz:

$$\vec{u} \propto q_e (\vec{E} + \vec{v} \times \vec{B})$$

J.C. Jiménez Sáez  
S. Ramírez de la Piscina Millán  
U.D. Física II  
Departamento de Física Aplicada a las Ingenierías Aeronáutica y Naval



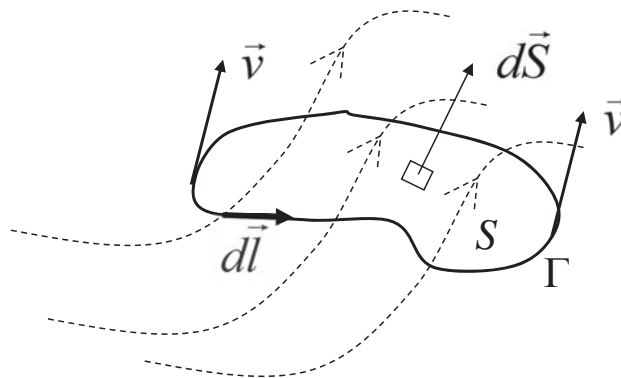


## DENSIDAD DE CORRIENTE EN UN CAMPO MAGNÉTICO

Si un conductor se mueve en una región donde existe un campo magnético:

$$\vec{J} = \sigma_c (\vec{E} + \vec{v} \times \vec{B})$$

Velocidad local del conductor

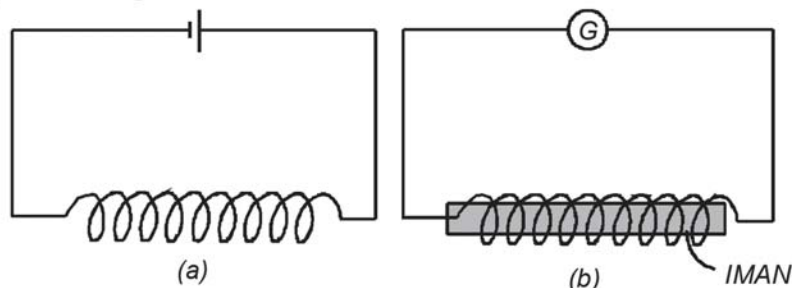


J.C. Jiménez Sáez  
S. Ramírez de la Piscina Millán  
U.D. Física II  
Departamento de Física Aplicada a las Ingenierías Aeronáutica y Naval



## INDUCCIÓN ELECTROMAGNÉTICA

A diferencia de la magnetostática, estudia efectos que se deben a la variación de la intensidad con el tiempo. En magnetostática vimos como el circuito (a) producía un campo magnético.



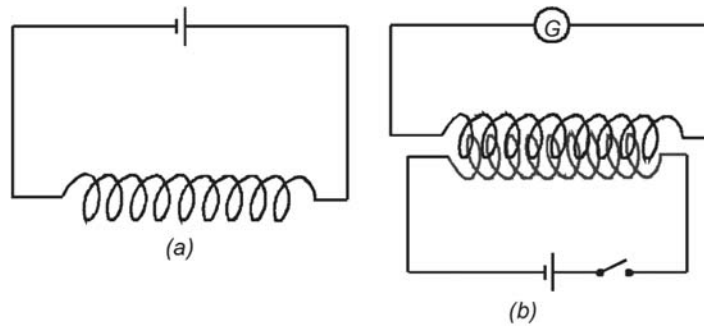
Por el galvanómetro del circuito (b) no pasa corriente. Al introducir o sacar el imán del solenoide, se observa una corriente en el galvanómetro (intensidad inducida) que cesa cuando cesa el movimiento del imán.

J.C. Jiménez Sáez  
S. Ramírez de la Piscina Millán  
U.D. Física II  
Departamento de Física Aplicada a las Ingenierías Aeronáutica y Naval





# INDUCCIÓN ELECTROMAGNÉTICA



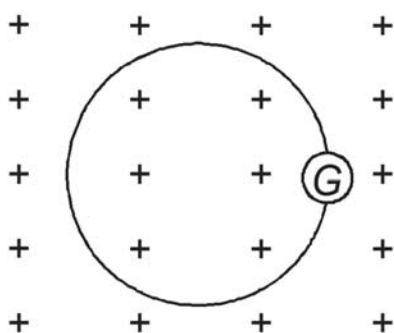
Lo mismo ocurre si en lugar del imán se pone otro circuito por el que circula corriente constante. Por el galvanómetro tampoco pasa corriente.

El galvanómetro detecta paso de corriente en los períodos de apertura y cierre del interruptor, cuando la intensidad de corriente es variable y, por tanto, también lo es el campo magnético que produce.

J.C. Jiménez Sáez  
S. Ramírez de la Piscina Millán  
U.D. Física II  
Departamento de Física Aplicada a las Ingenierías Aeronáutica y Naval



# INDUCCIÓN ELECTROMAGNÉTICA



Si en un campo magnético uniforme colocamos una espira rígida y estacionaria, vemos que por ella no pasa corriente ninguna ya que el galvanómetro no la detecta.

El galvanómetro detectaría paso de corriente si deformamos la espira, la hacemos girar o hacemos que varíe el campo magnético con el tiempo.

En todos los ejemplos anteriores existe un flujo magnético variable en el tiempo

$$\phi = \int_S \vec{B} \cdot d\vec{S}$$

J.C. Jiménez Sáez  
S. Ramírez de la Piscina Millán  
U.D. Física II  
Departamento de Física Aplicada a las Ingenierías Aeronáutica y Naval





# LEY DE INDUCCIÓN DE FARADAY

En los experimentos descritos, el paso de corriente por el galvanómetro está asociado a algo común a todos ellos:

La variación con el tiempo del flujo magnético a través de los circuitos. Experimentalmente, se comprueba que la f.e.m. inducida en el circuito coincide con la variación temporal del flujo magnético que lo atraviesa:

$$\varepsilon = - \frac{d\phi}{dt}$$

La f.e.m. inducida en un circuito eléctrico es igual a la variación, cambiada de signo, con respecto al tiempo del flujo magnético que atraviesa la superficie limitada por el circuito



# LEY DE INDUCCIÓN DE FARADAY



$$\varepsilon = - \frac{d\phi}{dt}$$

Esta importante ley del electromagnetismo es experimental e independiente de cualesquiera otras y no se puede deducir de ellas.

Aplicación:

Funcionamiento de motores y generadores eléctricos.



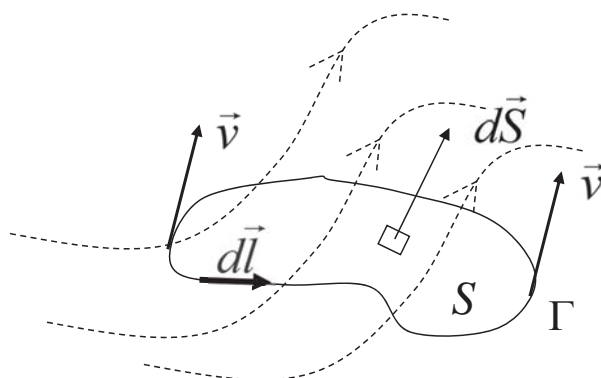


# LEY DE INDUCCIÓN DE FARADAY

$$\oint_{\Gamma} \vec{\xi}_m \cdot d\vec{l} = \varepsilon = - \frac{d\phi}{dt} = - \frac{d}{dt} \int_S \vec{B} \cdot d\vec{S}$$

Campo motriz de origen electromagnético

Superficie limitada por  $\Gamma$



J.C. Jiménez Sáez  
S. Ramírez de la Piscina Millán  
U.D. Física II  
Departamento de Física Aplicada a las Ingenierías Aeronáutica y Naval



# LEY DE INDUCCIÓN DE FARADAY

El signo negativo que aparece en la ley de Faraday indica que la f.e.m. inducida es de tal sentido que tiende a oponerse al cambio en el flujo.

Así, cuando en un circuito aumentamos (disminuimos) el flujo magnético, la f.e.m. que se induce y la intensidad subsiguiente crea un campo magnético cuyo flujo es contrario al aumento (disminución) que estamos produciendo.

Este hecho es un caso particular de una ley más general, que se denomina ley de Lenz y cuyo enunciado es

Siempre que se produce un cambio en un sistema magnético, ocurre algo que tiende a oponerse a tal cambio

J.C. Jiménez Sáez  
S. Ramírez de la Piscina Millán  
U.D. Física II  
Departamento de Física Aplicada a las Ingenierías Aeronáutica y Naval

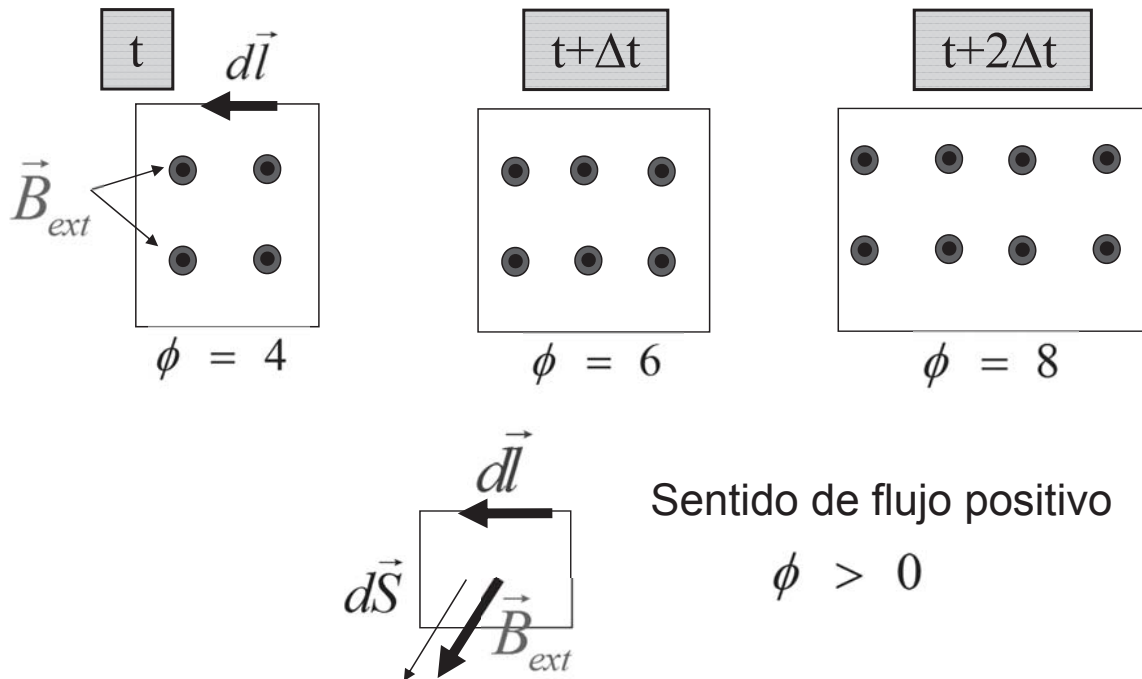






# LEY DE INDUCCIÓN DE FARADAY

Si no se verificase la ley de Faraday:

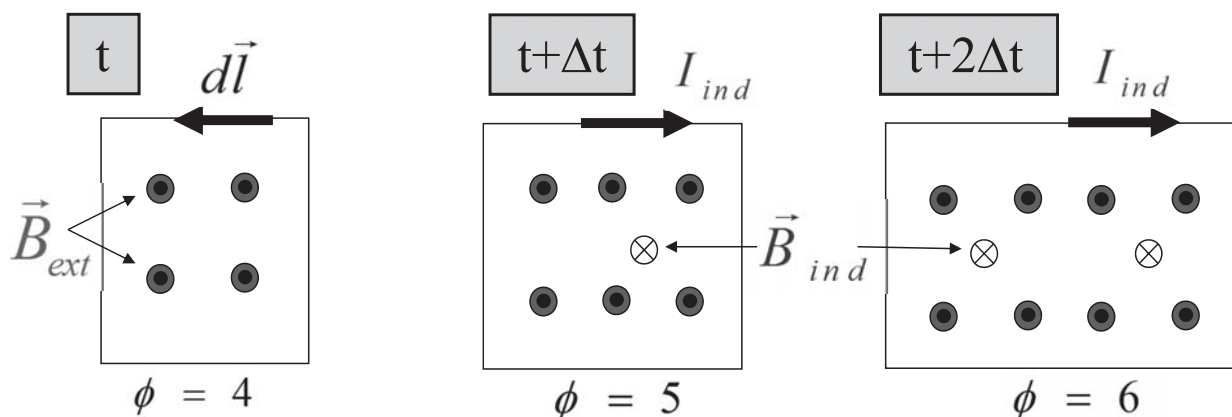


J.C. Jiménez Sáez  
S. Ramírez de la Piscina Millán  
U.D. Física II  
Departamento de Física Aplicada a las Ingenierías Aeronáutica y Naval



# LEY DE INDUCCIÓN DE FARADAY

En realidad se induce  $I_{ind}$ , que genera  $\vec{B}_{ind}$ , que se opone al cambio de flujo.



El flujo aumenta ( $d\phi/dt > 0$ ), la densidad de corriente intensidad se opone al  $d\vec{l}$

$$\varepsilon = \oint_{\Gamma} \vec{\xi}_m \cdot d\vec{l} = -\frac{d\phi}{dt} < 0 \Rightarrow \vec{\xi}_m \uparrow \downarrow d\vec{l}; \quad \vec{J} \uparrow \downarrow d\vec{l}$$

J.C. Jiménez Sáez  
S. Ramírez de la Piscina Millán  
U.D. Física II  
Departamento de Física Aplicada a las Ingenierías Aeronáutica y Naval





# ECUACIÓN DE MAXWELL DE LA INDUCCIÓN

CIRCUITO FIJO, SIN PILAS Y  $\vec{B}$  VARIABLE  $\vec{v} = \vec{0}$ ;  $\frac{\partial \vec{B}}{\partial t} \neq \vec{0}$

Para que se cumpla la ley de Faraday debe verificarse:

$$\left. \begin{aligned} \varepsilon &= \oint_{\Gamma} \vec{E}_m \cdot d\vec{l} = \int_S \nabla \times \vec{E}_m \cdot d\vec{S} \\ \varepsilon &= -\frac{d\phi}{dt} = -\int_S \frac{\partial \vec{B}}{\partial t} \cdot d\vec{S} \end{aligned} \right\} \int_S \nabla \times \vec{E}_m \cdot d\vec{S} = -\int_S \frac{\partial \vec{B}}{\partial t} \cdot d\vec{S}$$

$$\nabla \times \vec{E}_m = -\frac{\partial \vec{B}}{\partial t}$$

Dado que  $S$  puede ser cualquier superficie que subtienda la curva (circuito), esta ecuación vale para cualquier punto.

El campo electromotor no deriva de un potencial,  
pues no es conservativo

J.C. Jiménez Sáez  
S. Ramírez de la Piscina Millán  
U.D. Física II  
Departamento de Física Aplicada a las Ingenierías Aeronáutica y Naval



# ECUACIÓN DE MAXWELL DE LA INDUCCIÓN

El campo eléctrico es suma del electrostático y el electromotor:

$$\vec{E} = \vec{E}_e + \vec{E}_m$$

$$\nabla \times \vec{E}_e = \vec{0}$$

$$\nabla \times \vec{E}_m = -\frac{\partial \vec{B}}{\partial t}$$

Queda por tanto: 
$$\nabla \times \vec{E} = -\frac{\partial \vec{B}}{\partial t}$$

El campo eléctrico rodea las variaciones de campo magnético

J.C. Jiménez Sáez  
S. Ramírez de la Piscina Millán  
U.D. Física II  
Departamento de Física Aplicada a las Ingenierías Aeronáutica y Naval

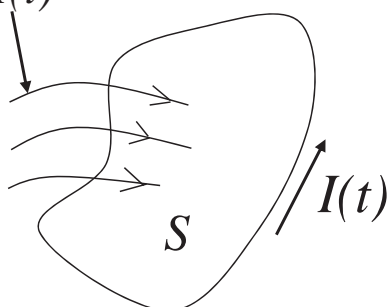




# COEFICIENTE DE AUTOINDUCCIÓN

Si en  $\nabla \times \vec{B} = \mu_0 \vec{J}$ , se dobla  $I \rightarrow$  se dobla  $\vec{J} \rightarrow$  se dobla  $\vec{B} \rightarrow \vec{B} \propto I$

Campo producido  
por  $I(t)$



En un circuito aislado, rígido y estacionario la variación del flujo se debe solo a la variación con el tiempo de la intensidad que lo recorre

$$\phi = \int_S \vec{B} \cdot d\vec{S} = L I$$

J.C. Jiménez Sáez  
S. Ramírez de la Piscina Millán  
U.D. Física II  
Departamento de Física Aplicada a las Ingenierías Aeronáutica y Naval



# COEFICIENTE DE AUTOINDUCCIÓN

$$\varepsilon = - \frac{d\phi}{dt} = - \frac{d\phi}{dI} \frac{dI}{dt} = -L \frac{dI}{dt}$$

$L$ =coeficiente de autoinducción  
Unidad SI: Henrio ( $H=\Omega s$ )

$$[L] = [\varepsilon][t][I]^{-1} = L^2 M T^{-2} I^{-2}$$

J.C. Jiménez Sáez  
S. Ramírez de la Piscina Millán  
U.D. Física II  
Departamento de Física Aplicada a las Ingenierías Aeronáutica y Naval

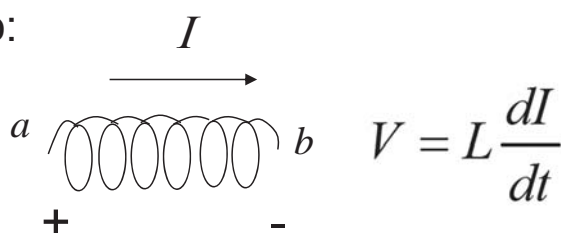




## COEFICIENTE DE AUTOINDUCCIÓN

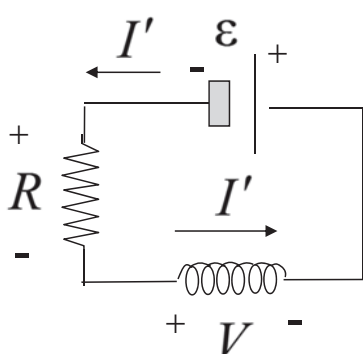
En un circuito:

*Símbolo*



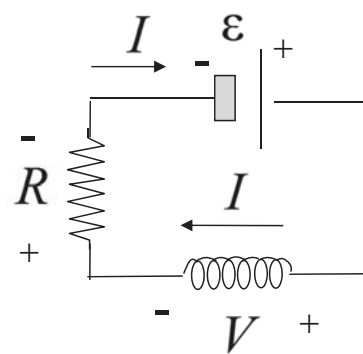
En circuitos por donde entra la intensidad se coloca el borne positivo

En el estado estacionario la caída de potencial en la bobina es nula



$$\varepsilon + V + RI' = 0$$

$$\varepsilon + L \frac{dI'}{dt} + RI' = 0$$



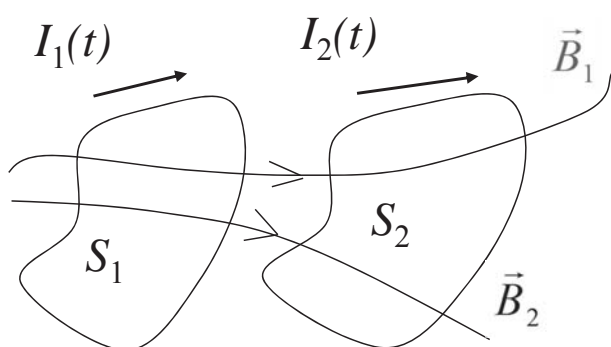
$$\varepsilon - V - RI = 0$$

$$\varepsilon - L \frac{dI}{dt} - RI = 0$$

J.C. Jiménez Sáez  
S. Ramírez de la Piscina Millán  
U.D. Física II  
Departamento de Física Aplicada a las Ingenierías Aeronáutica y Naval



## COEFICIENTE DE INDUCCIÓN MUTUA



$$\phi_{11} = \int_{S_1} \vec{B}_1(I_1) \cdot d\vec{S}_1$$

Flujo a través de  $S_1$  producido por el campo  $\vec{B}_1$  que genera  $I_1$

$$\phi_{12} = \int_{S_1} \vec{B}_2(I_2) \cdot d\vec{S}_1$$

Flujo a través de  $S_1$  producido por el campo  $\vec{B}_2$  que genera  $I_2$

$$\phi_1 = \phi_{11} + \phi_{12} = L_1 I_1 + \int_{S_1} \vec{B}_2(\vec{r}_1) \cdot d\vec{S}_1$$

J.C. Jiménez Sáez  
S. Ramírez de la Piscina Millán  
U.D. Física II  
Departamento de Física Aplicada a las Ingenierías Aeronáutica y Naval





# COEFICIENTE DE INDUCCIÓN MUTUA

$$\phi_1 = \phi_{11} + \phi_{12} = L_1 I_1 + \int_{S_1} \vec{B}_2(\vec{r}_1) \cdot d\vec{S}_1$$

$$\vec{B}_2 = \nabla \times \vec{A}_2, \quad \vec{A}_2(\vec{r}_1) = \frac{\mu_0 I_2}{4\pi} \oint_{\Gamma_2} \frac{d\vec{l}_2}{|\vec{r}_2 - \vec{r}_1|}$$

$$\phi_{12} = \int_{S_1} \nabla \times \vec{A}_2 \cdot d\vec{S}_1 = \oint_{\Gamma_1} d\vec{l}_1 \cdot \vec{A}_2 = I_2 \left( \frac{\mu_0}{4\pi} \oint_{\Gamma_1} d\vec{l}_1 \cdot \oint_{\Gamma_2} \frac{d\vec{l}_2}{|\vec{r}_2 - \vec{r}_1|} \right) = M_{12} I_2$$

Por simetría:  $\phi_2 = \phi_{22} + \phi_{21} = L_2 I_2 + M_{21} I_1$

Se puede ver fácilmente que:  $M_{21} = M_{12} \equiv M$

J.C. Jiménez Sáez  
S. Ramírez de la Piscina Millán  
U.D. Física II  
Departamento de Física Aplicada a las Ingenierías Aeronáutica y Naval



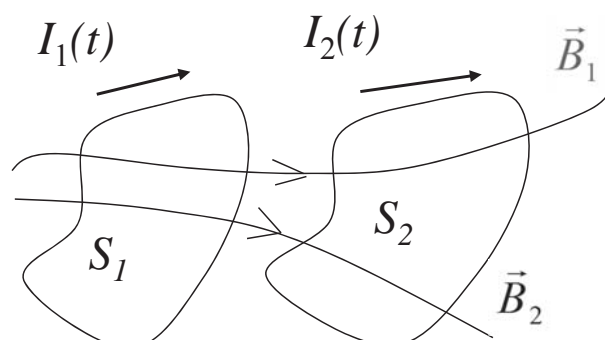
# COEFICIENTE DE INDUCCIÓN MUTUA

$M =$  Coeficiente de Inducción Mutua

$$\phi_1 = \phi_{11} + \phi_{12} = L_1 I_1 + M I_2$$

Usando la Ley de Faraday:  $\varepsilon_1 = -L_1 \frac{dI_1}{dt} - M \frac{dI_2}{dt}$

Análogamente:  $\varepsilon_2 = -L_2 \frac{dI_2}{dt} - M \frac{dI_1}{dt}$



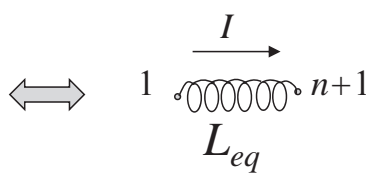
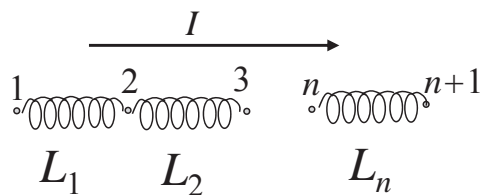
J.C. Jiménez Sáez  
S. Ramírez de la Piscina Millán  
U.D. Física II  
Departamento de Física Aplicada a las Ingenierías Aeronáutica y Naval



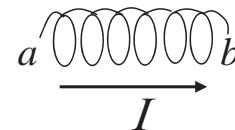
# ASOCIACIÓN DE INDUCTANCIAS



## SERIE



Símbolo



$$\varepsilon = -L \frac{dI}{dt}$$

$$\varepsilon_1 = -L_1 (dI / dt)$$

$$\varepsilon_2 = -L_2 (dI / dt)$$

⋮

$$\varepsilon_n = -L_n (dI / dt)$$

$$\sum_i \varepsilon_i = -L_{eq} \frac{dI}{dt}$$

$$L_{eq} = L_1 + L_2 + \dots + L_n$$

$$\varepsilon_1 + \varepsilon_2 + \dots + \varepsilon_n = -(L_1 + L_2 + \dots + L_n)(dI / dt)$$

La inductancia equivalente es suma de inductancias

Nota: Se supone que no hay acoplamiento entre inductancias

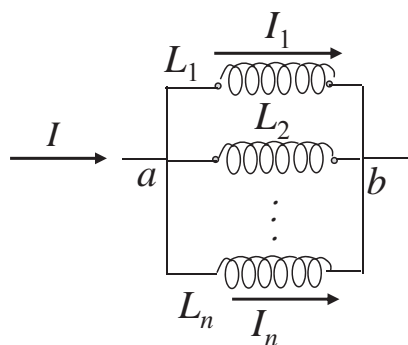
J.C. Jiménez Sáez  
S. Ramírez de la Piscina Millán  
U.D. Física II  
Departamento de Física Aplicada a las Ingenierías Aeronáutica y Naval



# ASOCIACIÓN DE INDUCTANCIAS



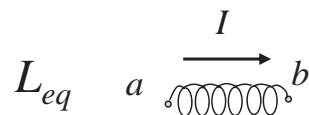
## PARALELO



$$dI_1 / dt = -\frac{\varepsilon}{L_1}$$

$$dI_2 / dt = -\frac{\varepsilon}{L_2}$$

$$dI / dt = -\frac{\varepsilon}{L_n}$$



$$\varepsilon = -L_{eq} (dI / dt)$$

$$\frac{dI}{dt} = -\frac{\varepsilon}{L_{eq}}$$

$$\frac{1}{L_{eq}} = \frac{1}{L_1} + \frac{1}{L_2} + \dots + \frac{1}{L_n}$$

$$dI / dt = dI_1 / dt + dI_2 / dt + \dots + dI_n / dt = -\varepsilon \left( \frac{1}{L_1} + \frac{1}{L_2} + \dots + \frac{1}{L_n} \right)$$

La inversa de la inductancia equivalente es suma de inversa de inductancias

Nota: Se supone que no hay acoplamiento entre inductancias

J.C. Jiménez Sáez  
S. Ramírez de la Piscina Millán  
U.D. Física II  
Departamento de Física Aplicada a las Ingenierías Aeronáutica y Naval

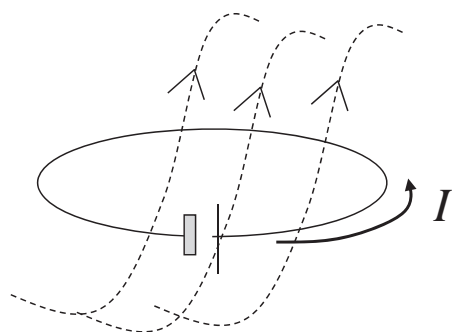




## ENERGÍA MAGNÉTICA

En un circuito con pila de fem  $\varepsilon$  y resistencia  $R$  se verifica:

$$\varepsilon - L(dI / dt) = RI$$



Para transportar una carga  $dq$  a lo largo del circuito:

$$dW = \varepsilon dq = \varepsilon I dt = RI^2 dt + L \frac{dI}{dt} I dt$$

$$dW = RI^2 dt + \frac{d\phi}{dt} I dt$$

Energía magnética:  $dU_m = Id\phi \rightarrow U_m = \int_0^I L dI = \frac{1}{2} LI^2$

Se utiliza en variar el flujo que atraviesa el circuito

J.C. Jiménez Sáez  
S. Ramírez de la Piscina Millán  
U.D. Física II  
Departamento de Física Aplicada a las Ingenierías Aeronáutica y Naval

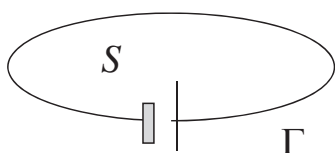


## ENERGÍA MAGNÉTICA

En la autoinducción, el campo eléctrico es la fuente de energía del campo magnético. Este se crea y crece a partir del campo eléctrico.

$$\phi = LI \rightarrow U_m = \frac{1}{2} LI^2 = \frac{1}{2} I\phi$$

$$\phi = \int_S \vec{B} \cdot d\vec{S} = \int_S \nabla \times \vec{A} \cdot d\vec{l} = \int_{\Gamma} \vec{A} \cdot d\vec{l}$$



$$U_m = \frac{1}{2} \int_{\Gamma} \vec{A} \cdot Id\vec{l}$$

Generalizando:

$$U_m = \frac{1}{2} \int_V \vec{A} \cdot \vec{J} dv \longrightarrow U_m = \frac{1}{2} \int_V \vec{B} \cdot \vec{H} dv$$

J.C. Jiménez Sáez  
S. Ramírez de la Piscina Millán  
U.D. Física II  
Departamento de Física Aplicada a las Ingenierías Aeronáutica y Naval





## ENERGÍA MAGNÉTICA

Demostración: 
$$U_m = \frac{1}{2} \int_v \vec{A} \cdot \vec{J} dv$$

$$U_m = \frac{1}{2} \int_v \vec{A} \cdot \nabla \times \vec{H} dv = \frac{1}{2} \int_v \vec{H} \cdot \nabla \times \vec{A} dv - \frac{1}{2} \int_v \nabla \cdot (\vec{A} \times \vec{H}) dv$$

Y como: 
$$\nabla \cdot (\vec{a} \times \vec{b}) = \vec{b} \cdot \nabla \times \vec{a} - \vec{a} \cdot \nabla \times \vec{b}$$

$$U_m = \frac{1}{2} \int_v \vec{H} \cdot \nabla \times \vec{A} dv - \underbrace{\frac{1}{2} \int_s (\vec{A} \times \vec{H}) \cdot d\vec{S}}_0 = \frac{1}{2} \int_v \vec{H} \cdot \vec{B} dv$$

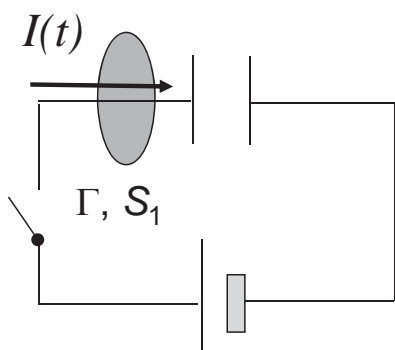
Se comprueba que es cero si  $v$  cubre todo el espacio para una distribución finita de carga ya que  $A \sim 1/r$ ,  $H \sim 1/r^2$  y  $dS \sim r^2$

J.C. Jiménez Sáez  
S. Ramírez de la Piscina Millán  
U.D. Física II  
Departamento de Física Aplicada a las Ingenierías Aeronáutica y Naval

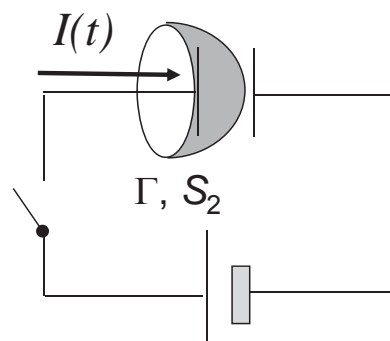


## CORRIENTE DE DESPLAZAMIENTO

Tenemos una corriente no estacionaria:



$$\nabla \times \vec{H} = \vec{J}$$



$$\int_{\Gamma} \vec{H} \cdot d\vec{l} = \int_{S_1} \vec{J} \cdot d\vec{S} = I(t) \quad \not\leftrightarrow \quad \int_{\Gamma} \vec{H} \cdot d\vec{l} = \int_{S_2} \vec{J} \cdot d\vec{S} = 0$$

J.C. Jiménez Sáez  
S. Ramírez de la Piscina Millán  
U.D. Física II  
Departamento de Física Aplicada a las Ingenierías Aeronáutica y Naval







## CORRIENTE DE DESPLAZAMIENTO

En el interior del condensador es necesario introducir una densidad de corriente “de desplazamiento  $J_d$ ” para evitar la contradicción.

$$\nabla \times \vec{H} = \vec{J} + \vec{J}_d$$

$$\int_{S_1} \vec{J}_d \cdot d\vec{S} = 0$$

$$\int_{\Gamma} \vec{H} \cdot d\vec{l} = \int_{S_2} \vec{J}_d \cdot d\vec{S} = I(t)$$

J.C. Jiménez Sáez  
S. Ramírez de la Piscina Millán  
U.D. Física II  
Departamento de Física Aplicada a las Ingenierías Aeronáutica y Naval



## CORRIENTE DE DESPLAZAMIENTO

Probemos que la densidad de corriente de desplazamiento es:  $\vec{J}_d = \frac{\partial \vec{D}}{\partial t}$   
Superficie cerrada

$$\begin{aligned} \int_{\Gamma} \vec{H} \cdot d\vec{l} &= \int_{S_2} \vec{J}_d \cdot d\vec{S} = \int_{S_2} \vec{J}_d \cdot d\vec{S} + \int_{S_1} \vec{J}_d \cdot d\vec{S} = \oint_S \frac{\partial \vec{D}}{\partial t} \cdot d\vec{S} = \\ &= \frac{\partial}{\partial t} \int_S \vec{D} \cdot d\vec{S} = \frac{\partial}{\partial t} \int_V \nabla \cdot \vec{D} dv = \frac{\partial}{\partial t} \int_V \rho dv = \frac{\partial q}{\partial t} = I(t) \end{aligned}$$

Teorema de Ampère generalizado  
(ley de Ampère-Maxwell):

$$\nabla \times \vec{H} = \vec{J} + \frac{\partial \vec{D}}{\partial t}$$

J.C. Jiménez Sáez  
S. Ramírez de la Piscina Millán  
U.D. Física II  
Departamento de Física Aplicada a las Ingenierías Aeronáutica y Naval





# CONSERVACIÓN DE LA CARGA ELÉCTRICA

En corrientes estacionarias se tenía que:

$$\nabla \cdot \vec{J} = 0$$

No se producen acumulaciones de carga. Si existe exceso está en la superficie.

$$\rho = \varepsilon_0 \nabla \cdot \vec{E} = \varepsilon_0 \frac{\nabla \cdot \vec{J}}{\sigma_c} = 0 \rightarrow \rho = 0$$

J.C. Jiménez Sáez  
S. Ramírez de la Piscina Millán  
U.D. Física II  
Departamento de Física Aplicada a las Ingenierías Aeronáutica y Naval



# CONSERVACIÓN DE LA CARGA ELÉCTRICA

En corrientes no estacionarias se tiene que:

$$\nabla \times \vec{H} = \vec{J} + \vec{J}_d \rightarrow 0 = \nabla \cdot (\nabla \times \vec{H}) = \nabla \cdot (\vec{J} + \vec{J}_d)$$

$$0 = \nabla \cdot \vec{J} + \frac{\partial}{\partial t} (\nabla \cdot \frac{\partial \vec{D}}{\partial t}) = \nabla \cdot \vec{J} + \frac{\partial}{\partial t} (\nabla \cdot \vec{D})$$

Ley de conservación de la carga:

$$\nabla \cdot \vec{J} + \frac{\partial \rho}{\partial t} = 0$$

J.C. Jiménez Sáez  
S. Ramírez de la Piscina Millán  
U.D. Física II  
Departamento de Física Aplicada a las Ingenierías Aeronáutica y Naval



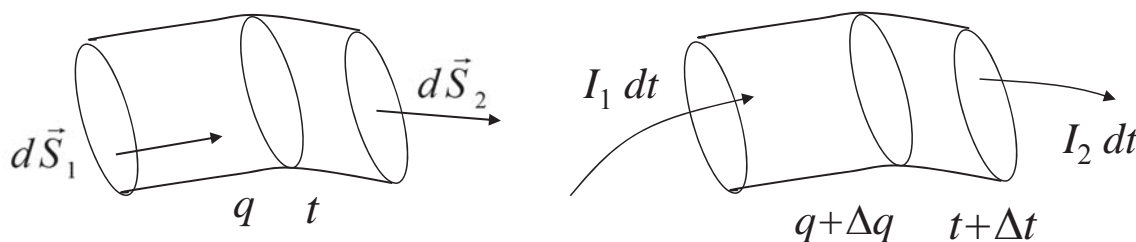


# CONSERVACIÓN DE LA CARGA ELÉCTRICA

En forma integral:

$$\frac{\partial q}{\partial t} = \frac{\partial}{\partial t} \int_V \rho dV = - \int_V \nabla \cdot \vec{J} dV = - \oint_S \vec{J} \cdot d\vec{S}$$

Si la carga contenida en un volumen  $v$  cambia de  $q$  a  $q + \Delta q$  en un intervalo  $\Delta t$ , una cantidad neta  $\Delta q = -I dt$  habrá atravesado la superficie cerrada  $S$ , frontera de  $v$  con el exterior en un tiempo  $\Delta t$ .



$$\Delta q = -\Delta t \left( \int_{S_1} \vec{J} \cdot (-d\vec{S}_1) + \int_{S_2} \vec{J} \cdot d\vec{S}_2 \right) = +I_1 dt - I_2 dt$$

J.C. Jiménez Sáez  
S. Ramírez de la Piscina Millán  
U.D. Física II  
Departamento de Física Aplicada a las Ingenierías Aeronáutica y Naval



# ECUACIONES DE MAXWELL EN FORMA DIFERENCIAL

Ley de Gauss:

Las líneas de campo nacen y mueren en las cargas

$$\nabla \cdot \vec{D} = \rho$$

Ley de Gauss para  $\vec{B}$ :

Las líneas de campo son cerradas

$$\nabla \cdot \vec{B} = 0$$

J.C. Jiménez Sáez  
S. Ramírez de la Piscina Millán  
U.D. Física II  
Departamento de Física Aplicada a las Ingenierías Aeronáutica y Naval





## ECUACIONES DE MAXWELL EN FORMA DIFERENCIAL

Ley de Faraday-Henry:

El campo eléctrico rodea a las variaciones con el tiempo de campo magnético

$$\nabla \times \vec{E} = - \frac{\partial \vec{B}}{\partial t}$$

Ley de Ampère-Maxwell:

El campo magnético rodea a las densidades de corriente y a las variaciones con el tiempo de desplazamiento eléctrico

$$\nabla \times \vec{H} = \vec{J} + \frac{\partial \vec{D}}{\partial t}$$

J.C. Jiménez Sáez  
S. Ramírez de la Piscina Millán  
U.D. Física II  
Departamento de Física Aplicada a las Ingenierías Aeronáutica y Naval



## ECUACIONES DE MAXWELL EN FORMA INTEGRAL

Ley de Gauss

$$\oint_S \vec{D} \cdot d\vec{S} = q$$

Ley de Gauss para el campo magnético

$$\oint_S \vec{B} \cdot d\vec{S} = 0$$

J.C. Jiménez Sáez  
S. Ramírez de la Piscina Millán  
U.D. Física II  
Departamento de Física Aplicada a las Ingenierías Aeronáutica y Naval





## ECUACIONES DE MAXWELL EN FORMA INTEGRAL

### Ley de Faraday-Henry

$$\oint_{\Gamma} \vec{E} \cdot d\vec{l} = - \frac{d}{dt} \int_S \vec{B} \cdot d\vec{S}$$

### Ley de Ampère-Maxwell

$$\oint_{\Gamma} \vec{H} \cdot d\vec{l} = I + \frac{d}{dt} \int_S \vec{D} \cdot d\vec{S}$$

J.C. Jiménez Sáez  
S. Ramírez de la Piscina Millán  
U.D. Física II  
Departamento de Física Aplicada a las Ingenierías Aeronáutica y Naval



## RELACIÓN DEL CAMPO ELÉCTRICO CON LOS POTENCIALES

$$\vec{B} = \nabla \times \vec{A}$$

$$\nabla \times \vec{E} = \nabla \times \vec{E}_m = - \frac{\partial \vec{B}}{\partial t} = - \frac{\partial}{\partial t} (\nabla \times \vec{A})$$

$$\nabla \times \vec{E}_m = - \nabla \times \left( \frac{\partial \vec{A}}{\partial t} \right)$$

$$\vec{E}_m = - \frac{\partial \vec{A}}{\partial t}$$

$$\vec{E} = \vec{E}_e + \vec{E}_m = - \nabla V - \frac{\partial \vec{A}}{\partial t}$$

J.C. Jiménez Sáez  
S. Ramírez de la Piscina Millán  
U.D. Física II  
Departamento de Física Aplicada a las Ingenierías Aeronáutica y Naval





## CAMPO ELECTROSTÁTICO y ELECTROMOTOR

$$\nabla \times \vec{E}_e = 0; \quad \nabla \times \vec{E}_m = -\frac{\partial \vec{B}}{\partial t}$$

$$\nabla \cdot \vec{E} = \frac{\rho + \rho_p}{\epsilon_0} \quad \rightarrow \quad \nabla \cdot (\vec{E}_e + \vec{E}_m) = \frac{\rho + \rho_p}{\epsilon_0}$$

$$\nabla \cdot \vec{E}_e - \frac{\partial}{\partial t} \nabla \cdot \vec{A} = \frac{\rho + \rho_p}{\epsilon_0}$$

$$\nabla \cdot \vec{E}_e = \frac{\rho + \rho_p}{\epsilon_0}$$

J.C. Jiménez Sáez  
S. Ramírez de la Piscina Millán  
U.D. Física II  
Departamento de Física Aplicada a las Ingenierías Aeronáutica y Naval



## ELECTROSTÁTICA Y MAGNETOSTÁTICA

(La resolución de las ecuaciones de Maxwell y de la fuerza de Lorentz corresponden a la electrodinámica clásica)

### Electrostática

$$\vec{J} = \vec{0} \quad \frac{\partial \vec{E}}{\partial t} = \vec{0} \quad \frac{\partial \vec{B}}{\partial t} = \vec{0}$$

$$\nabla \cdot \vec{D} = \rho \quad \nabla \times \vec{E} = \vec{0} \quad \longrightarrow \quad \vec{E} \neq \vec{E}(t)$$

$$\nabla \cdot \vec{B} = 0 \quad \nabla \times \vec{B} = \vec{0} \quad \longrightarrow \quad \vec{B} = \vec{0}$$

Conocido  $\rho$  se puede hallar  $\vec{E}$

J.C. Jiménez Sáez  
S. Ramírez de la Piscina Millán  
U.D. Física II  
Departamento de Física Aplicada a las Ingenierías Aeronáutica y Naval





# ELECTROSTÁTICA Y MAGNETOSTÁTICA

## Magnetostática

$$\rho = 0 \quad \vec{J} \neq \vec{0} \quad \vec{J} \neq \vec{J}(t) \quad \frac{\partial \vec{E}}{\partial t} = \vec{0} \quad \frac{\partial \vec{B}}{\partial t} = \vec{0}$$

$$\nabla \cdot \vec{D} = 0 \quad \nabla \times \vec{E} = \vec{0} \quad \longrightarrow \quad \vec{E} = \vec{0}$$

$$\nabla \cdot \vec{B} = 0 \quad \nabla \times \vec{H} = \vec{J} \quad \longrightarrow \quad \vec{B} \neq \vec{B}(t)$$

$$\nabla \cdot \vec{J} = 0$$

Conocido  $\vec{J}$  se puede hallar  $\vec{B}$

J.C. Jiménez Sáez  
S. Ramírez de la Piscina Millán  
U.D. Física II  
Departamento de Física Aplicada a las Ingenierías Aeronáutica y Naval

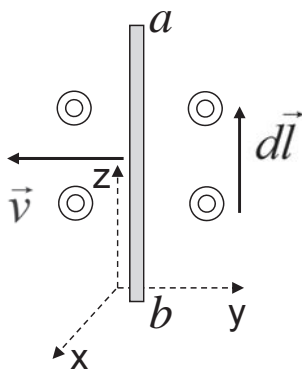


## DENSIDAD DE CORRIENTE EN UN CAMPO MAGNÉTICO



### VARILLA CONDUCTORA EN MOVIMIENTO EN EL SENO DE UN CAMPO MAGNÉTICO

$$\vec{B} = B_0 \vec{i}$$



Las cargas negativas se acumulan abajo debido a la fuerza magnética. En el estado estacionario, sobre una carga no existe fuerza :

$$q_e \vec{E}_e + q_e \vec{v} \times \vec{B} = 0$$

También:  $\vec{J} = \sigma_c (\vec{E}_e + \vec{v} \times \vec{B}) = \vec{0} \Rightarrow \vec{E}_e = -\vec{v} \times \vec{B}$

$$\vec{E}_e = vB(-\vec{k})$$

$$V_a - V_b = -\int_0^L E_e dz = vBL$$

J.C. Jiménez Sáez  
S. Ramírez de la Piscina Millán  
U.D. Física II  
Departamento de Física Aplicada a las Ingenierías Aeronáutica y Naval

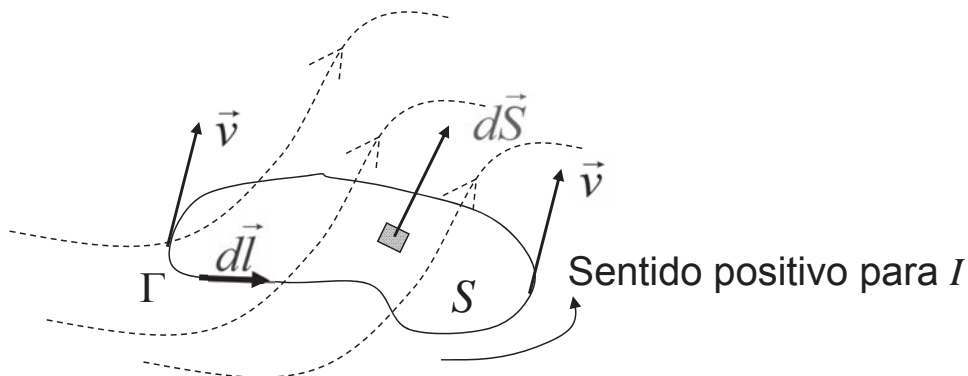


## LEY DE INDUCCIÓN DE FARADAY



### VARIACIÓN DE FLUJO EN UN SISTEMA EN MOVIMIENTO

$$\vec{v} \neq \vec{0}; \quad \frac{\partial \vec{B}}{\partial t} = \vec{0}$$



La variación de flujo en un sistema en movimiento verifica:

$$-\frac{d\phi}{dt} = -\frac{d}{dt} \left( \int_S \vec{B} \cdot d\vec{S} \right) = \oint_{\Gamma} (\vec{v} \times \vec{B}) \cdot d\vec{l} - \int_S \frac{\partial \vec{B}}{\partial t} \cdot d\vec{S}$$

J.C. Jiménez Sáez  
S. Ramírez de la Piscina Millán  
U.D. Física II  
Departamento de Física Aplicada a las Ingenierías Aeronáutica y Naval

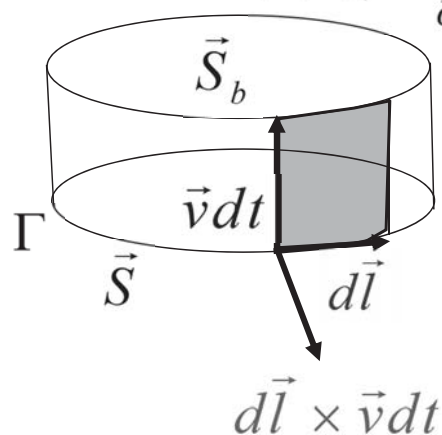


## LEY DE INDUCCIÓN DE FARADAY



### VARIACIÓN DE FLUJO EN UN SISTEMA EN MOVIMIENTO

$$\vec{v} \neq \vec{0}; \quad \frac{\partial \vec{B}}{\partial t} = \vec{0}$$



$$\frac{d\phi}{dt} = \frac{\int_{S_b} \vec{B}(t + dt) \cdot d\vec{S}_b - \int_S \vec{B}(t) \cdot d\vec{S}}{dt}$$

J.C. Jiménez Sáez  
S. Ramírez de la Piscina Millán  
U.D. Física II  
Departamento de Física Aplicada a las Ingenierías Aeronáutica y Naval





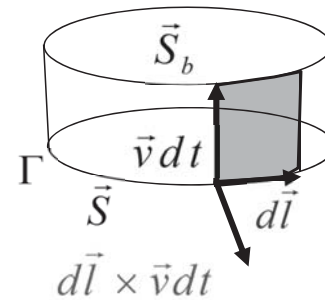
## LEY DE INDUCCIÓN DE FARADAY



### VARIACIÓN DE FLUJO EN UN SISTEMA EN MOVIMIENTO

$$\vec{v} \neq \vec{0}; \quad \frac{\partial \vec{B}}{\partial t} = \vec{0}$$

El flujo en la superficie cerrada de la figura, de altura  $\vec{v} dt$ , es cero:



$$\int_{S_b} \vec{B}(t+dt) \cdot d\vec{S}_b - \int_S \vec{B}(t+dt) \cdot d\vec{S} + dt \int_{\Gamma} \vec{B}(t+dt) \cdot (d\vec{l} \times \vec{v}) = 0$$

$$dt \int_{\Gamma} \vec{B}(t+dt) \cdot (d\vec{l} \times \vec{v}) = dt \int_{\Gamma} (\vec{v} \times \vec{B}(t+dt)) \cdot d\vec{l} = \text{Propiedad cíclica del producto mixto}$$

$$= dt \int_S \nabla \times (\vec{v} \times \vec{B}(t+dt)) \cdot d\vec{S} \approx dt \int_S \nabla \times (\vec{v} \times \vec{B}(t)) \cdot d\vec{S} \quad \text{Teorema de Stokes}$$

J.C. Jiménez Sáez  
S. Ramírez de la Piscina Millán  
U.D. Física II  
Departamento de Física Aplicada a las Ingenierías Aeronáutica y Naval



## LEY DE INDUCCIÓN DE FARADAY



### VARIACIÓN DE FLUJO EN UN SISTEMA EN MOVIMIENTO

$$\vec{v} \neq \vec{0}; \quad \frac{\partial \vec{B}}{\partial t} = \vec{0}$$

Con MÁS APROXIMACIÓN:

$$\vec{B}(t+dt) \cdot d\vec{S} = \vec{B}(t) \cdot d\vec{S} + \frac{\partial}{\partial t} (\vec{B}(t) \cdot d\vec{S}) dt$$

Sustituyendo:

$$\int_{S_b} \vec{B}(t+dt) \cdot d\vec{S}_b - \int_S \vec{B}(t) \cdot d\vec{S} - dt \int_S \frac{\partial \vec{B}(t)}{\partial t} \cdot d\vec{S} + dt \int_S \nabla \times (\vec{v} \times \vec{B}) \cdot d\vec{S} = 0$$

$$\frac{d\phi}{dt} = \int_S \frac{\partial \vec{B}(t)}{\partial t} \cdot d\vec{S} - \int_S \nabla \times (\vec{v} \times \vec{B}) \cdot d\vec{S}$$

$$\frac{d\phi}{dt} = \int_S \frac{\partial \vec{B}(t)}{\partial t} \cdot d\vec{S} - \oint_{\Gamma} (\vec{v} \times \vec{B}) \cdot d\vec{l}$$

J.C. Jiménez Sáez  
S. Ramírez de la Piscina Millán  
U.D. Física II  
Departamento de Física Aplicada a las Ingenierías Aeronáutica y Naval



## LEY DE INDUCCIÓN DE FARADAY

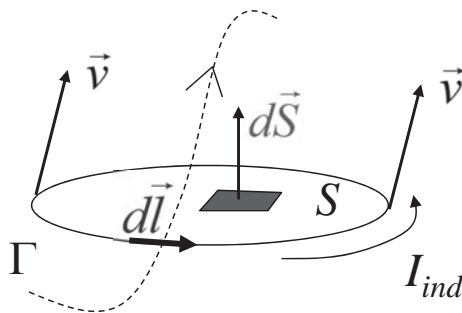


CIRCUITO CON VELOCIDAD  $\vec{v}$ , SIN PILAS Y  $\vec{B}$  ESTACIONARIO

$$\vec{v} \neq \vec{0}; \quad \frac{\partial \vec{B}}{\partial t} = \vec{0}$$

$$\varepsilon = RI_{ind} = \oint_{\Gamma} \frac{\vec{J} \cdot d\vec{l}}{\sigma_c} = \left. \left\{ \overset{0}{\oint_{\Gamma} \vec{E}_e \cdot d\vec{l}} + \oint_{\Gamma} \vec{E}_m \cdot d\vec{l} + \oint_{\Gamma} (\vec{v} \times \vec{B}) \cdot d\vec{l} \right\} \right\}$$

$$\varepsilon = -\frac{d\phi}{dt} = \oint_{\Gamma} (\vec{v} \times \vec{B}) \cdot d\vec{l}$$



Debe verificarse:

$$\varepsilon = \oint_{\Gamma} (\vec{v} \times \vec{B}) \cdot d\vec{l}$$

$$\vec{E}_m = \vec{0}$$

J.C. Jiménez Sáez  
S. Ramírez de la Piscina Millán  
U.D. Física II  
Departamento de Física Aplicada a las Ingenierías Aeronáutica y Naval



## LEY DE INDUCCIÓN DE FARADAY



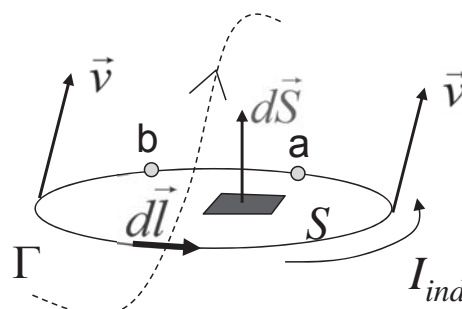
CIRCUITO CON VELOCIDAD  $\vec{v}$ , SIN PILAS Y  $\vec{B}$  ESTACIONARIO

$$\vec{v} \neq \vec{0}; \quad \frac{\partial \vec{B}}{\partial t} = \vec{0}$$

Entre dos puntos  $a$  y  $b$  del circuito se tiene:

$$R_{ab} I_{ind} = \int_a^b \vec{E}_e \cdot d\vec{l} + \int_a^b (\vec{v} \times \vec{B}) \cdot d\vec{l} = -(V_b - V_a) + \int_a^b (\vec{v} \times \vec{B}) \cdot d\vec{l}$$

$$(V_a - V_b) = \int_b^a (\vec{v} \times \vec{B}) \cdot d\vec{l} + R_{ab} I_{ind} = -\varepsilon_{ab} + R_{ab} I_{ind}$$



J.C. Jiménez Sáez  
S. Ramírez de la Piscina Millán  
U.D. Física II  
Departamento de Física Aplicada a las Ingenierías Aeronáutica y Naval



# LEY DE INDUCCIÓN DE FARADAY

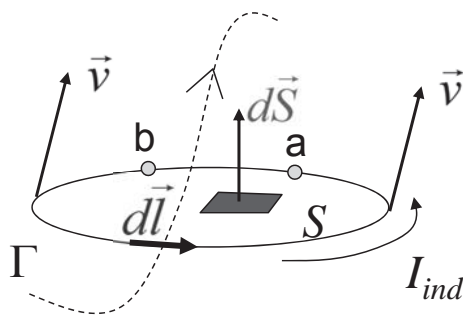


## CIRCUITO CON VELOCIDAD $\vec{v}$ , SIN PILAS Y $\vec{B}$ ESTACIONARIO

$$\vec{v} \neq \vec{0}; \quad \frac{\partial \vec{B}}{\partial t} = \vec{0}$$

Balance de energía para mover un  $dq$  con velocidad  $\vec{v}$  en el circuito:

$$RI_{ind} = \oint_{\Gamma} (\vec{v} \times \vec{B}) \cdot d\vec{l} \rightarrow RI_{ind}^2 = -\oint_{\Gamma} \vec{v} \cdot (I_{ind} d\vec{l} \times \vec{B}) = -\frac{dE_c}{dt} + P$$



$$\frac{dE_c}{dt} = \oint_{\Gamma} \vec{v} \cdot \vec{F} + P = \oint_{\Gamma} \vec{v} \cdot (I_{ind} d\vec{l} \times \vec{B}) + P$$

Potencia adicional debida a otra fuerza mecánica que actúe sobre el circuito

Si  $P=0$ ,  $\vec{B}$  transfiere energía cinética ( $E_c$ ) del movimiento del circuito en el campo a energía interna por efecto Joule.

J.C. Jiménez Sáez  
S. Ramírez de la Piscina Millán  
U.D. Física II  
Departamento de Física Aplicada a las Ingenierías Aeronáutica y Naval

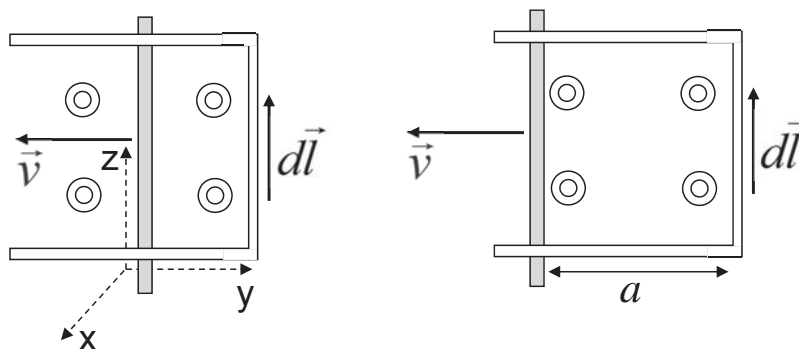


# LEY DE INDUCCIÓN DE FARADAY



## CIRCUITO DEFORMABLE

El sentido del diferencial de superficie es el eje  $x$  positivo



$$\vec{B} = B_0 \vec{i} \quad \vec{v} = v(-\vec{j})$$

$$\oint_{\Gamma} \frac{\vec{J} \cdot d\vec{l}}{\sigma_c} = \varepsilon = \oint_{\Gamma} (\vec{v} \times \vec{B}) \cdot d\vec{l} = \int_{z=L}^0 v B_0 \vec{k} \cdot dz \vec{k} = -v B_0 L$$

$\vec{J} \uparrow \downarrow d\vec{l}$  La intensidad va en sentido contrario al dibujado

J.C. Jiménez Sáez  
S. Ramírez de la Piscina Millán  
U.D. Física II  
Departamento de Física Aplicada a las Ingenierías Aeronáutica y Naval

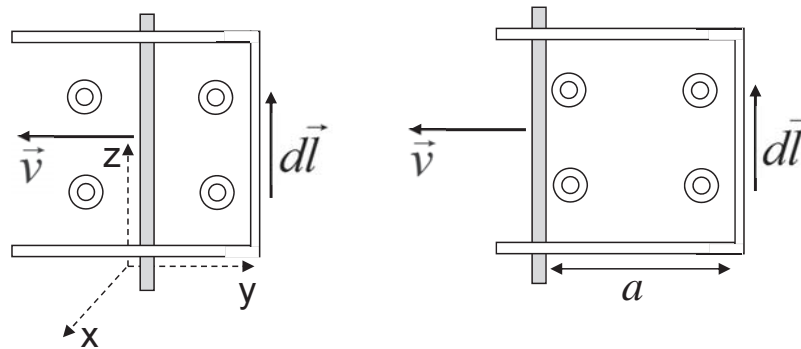


# LEY DE INDUCCIÓN DE FARADAY



## CIRCUITO DEFORMABLE

El sentido del diferencial de superficie es el eje  $x$  positivo



$$\vec{B} = B_0 \vec{i} \quad \vec{v} = v(-\vec{j})$$

Otra forma:

$$\phi = \int_S \vec{B} \cdot d\vec{S} = B_0 L a \rightarrow \varepsilon = -\frac{d\phi}{dt} = -B_0 L \frac{da}{dt} = -B_0 L v$$

Ancho

J.C. Jiménez Sáez  
S. Ramírez de la Piscina Millán  
U.D. Física II  
Departamento de Física Aplicada a las Ingenierías Aeronáutica y Naval



# LEY DE INDUCCIÓN DE FARADAY

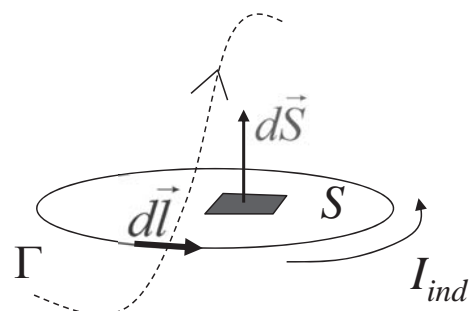


## CIRCUITO FIJO, SIN PILAS Y $\vec{B}$ VARIABLE

$$\vec{v} = \vec{0}; \quad \frac{\partial \vec{B}}{\partial t} \neq \vec{0}$$

$$\varepsilon = RI_{ind} = \oint_{\Gamma} \frac{\vec{J} \cdot d\vec{l}}{\sigma_c} = \underbrace{\oint_{\Gamma} \vec{E}_e \cdot d\vec{l}}_0 + \underbrace{\oint_{\Gamma} \vec{E}_m \cdot d\vec{l}}_{\text{Campo electromotor}} + \underbrace{\oint_{\Gamma} (\vec{v} \times \vec{B}) \cdot d\vec{l}}_0$$

$$\varepsilon = -\frac{d\phi}{dt} = -\int_S \frac{\partial \vec{B}}{\partial t} \cdot d\vec{S}$$



J.C. Jiménez Sáez  
S. Ramírez de la Piscina Millán  
U.D. Física II  
Departamento de Física Aplicada a las Ingenierías Aeronáutica y Naval



## LEY DE INDUCCIÓN DE FARADAY



### CIRCUITO FIJO, SIN PILAS Y $\vec{B}$ VARIABLE

$$\vec{v} = \vec{0}; \quad \frac{\partial \vec{B}}{\partial t} \neq \vec{0}$$

Para que se cumpla la ley de Faraday debe verificarse:

$$\left. \begin{aligned} \varepsilon &= \oint_{\Gamma} \vec{E}_m \cdot d\vec{l} = \int_S \nabla \times \vec{E}_m \cdot d\vec{S} \\ \varepsilon &= -\frac{d\phi}{dt} = -\int_S \frac{\partial \vec{B}}{\partial t} \cdot d\vec{S} \end{aligned} \right\} \int_S \nabla \times \vec{E}_m \cdot d\vec{S} = -\int_S \frac{\partial \vec{B}}{\partial t} \cdot d\vec{S}$$

$$\downarrow$$

$$\nabla \times \vec{E}_m = -\frac{\partial \vec{B}}{\partial t}$$

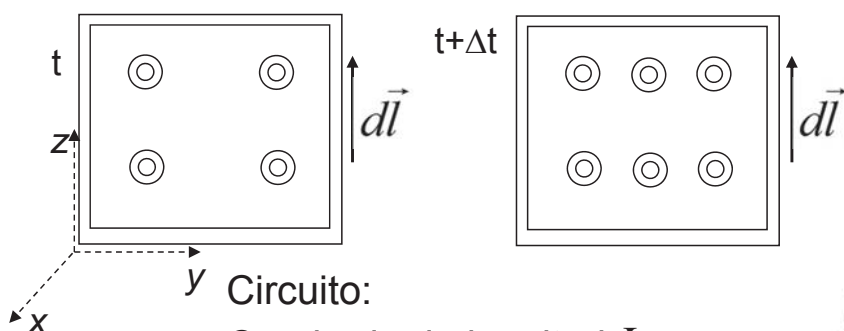
J.C. Jiménez Sáez  
S. Ramírez de la Piscina Millán  
U.D. Física II  
Departamento de Física Aplicada a las Ingenierías Aeronáutica y Naval



## LEY DE INDUCCIÓN DE FARADAY



### CIRCUITO RÍGIDO EN $\vec{B}$ VARIABLE



El sentido del diferencial de superficie es el eje  $x$  positivo

Circuito:  
Cuadrado de longitud  $L$

$$\vec{B} = Ct^2 y \vec{i}$$

$$\oint_{\Gamma} \frac{\vec{J} \cdot d\vec{l}}{\sigma_c} = \varepsilon = -\int_S \frac{\partial \vec{B}}{\partial t} \cdot d\vec{S} = -\int_0^L 2Cty \vec{i} \cdot L dy \vec{i} = -2CtL \frac{L^2}{2}$$

$\vec{J} \uparrow \downarrow d\vec{l}$  La intensidad va en sentido contrario al dibujado

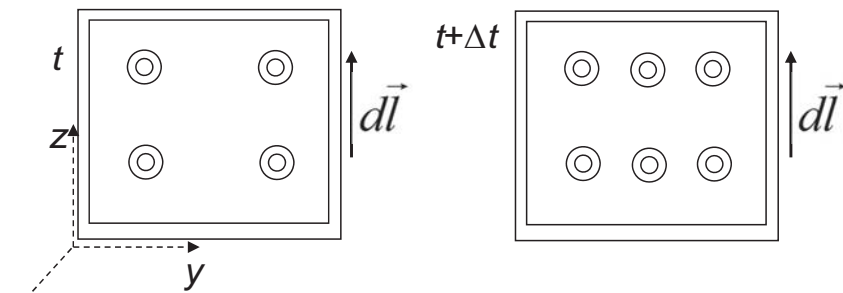
J.C. Jiménez Sáez  
S. Ramírez de la Piscina Millán  
U.D. Física II  
Departamento de Física Aplicada a las Ingenierías Aeronáutica y Naval



# LEY DE INDUCCIÓN DE FARADAY



## CIRCUITO RÍGIDO EN $\vec{B}$ VARIABLE



El sentido del diferencial de superficie es el eje  $x$  positivo

$$\vec{B} = Ct^2 y \vec{i}$$

Circuito: Cuadrado de longitud  $L$

$$\text{Otra forma: } \phi = \int_S \vec{B} \cdot d\vec{S} = \int_0^L Ct^2 y L dy = Ct^2 \frac{L^3}{2}$$

$$\varepsilon = -\frac{d\phi}{dt} = -2Ct \frac{L^3}{2}$$

J.C. Jiménez Sáez  
S. Ramírez de la Piscina Millán  
U.D. Física II  
Departamento de Física Aplicada a las Ingenierías Aeronáutica y Naval



# LEY DE INDUCCIÓN DE FARADAY

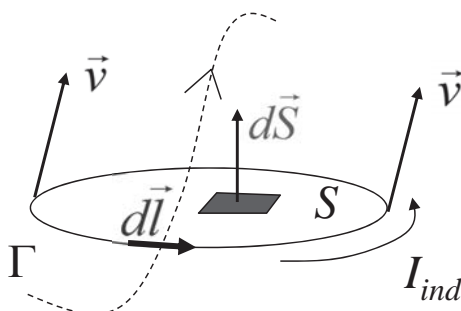


## CIRCUITO CON VELOCIDAD $\vec{v}$ , SIN PILAS Y $\vec{B}$ ESTACIONARIO

$$\vec{v} \neq \vec{0}; \quad \frac{\partial \vec{B}}{\partial t} \neq \vec{0}$$

$$\varepsilon = RI_{ind} = \oint_{\Gamma} \frac{\vec{J} \cdot d\vec{l}}{\sigma_c} = \underbrace{\oint_{\Gamma} \vec{E}_e \cdot d\vec{l}}_0 + \oint_{\Gamma} \vec{E}_m \cdot d\vec{l} + \oint_{\Gamma} (\vec{v} \times \vec{B}) \cdot d\vec{l}$$

$$\varepsilon = -\frac{d\phi}{dt} = -\int_S \frac{\partial \vec{B}}{\partial t} \cdot d\vec{S} + \oint_{\Gamma} (\vec{v} \times \vec{B}) \cdot d\vec{l}$$



Debe verificarse:

$$\varepsilon = -\int_S \frac{\partial \vec{B}}{\partial t} \cdot d\vec{S} + \oint_{\Gamma} (\vec{v} \times \vec{B}) \cdot d\vec{l}$$

$$\nabla \times \vec{E}_m = -\frac{\partial \vec{B}}{\partial t}$$

J.C. Jiménez Sáez  
S. Ramírez de la Piscina Millán  
U.D. Física II  
Departamento de Física Aplicada a las Ingenierías Aeronáutica y Naval

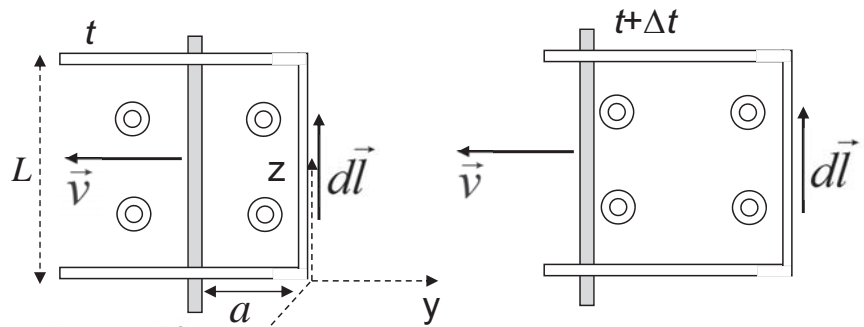


## LEY DE INDUCCIÓN DE FARADAY



### CIRCUITO DEFORMABLE EN $\vec{B}$ VARIABLE

El sentido del diferencial de superficie es el eje  $x$  positivo



$$\vec{B}(y,t) = -Ct^2 y \vec{i} \quad \vec{v} = -v \vec{j}$$

$$\varepsilon = -\int_S \frac{\partial \vec{B}}{\partial t} \cdot d\vec{S} + \oint_{\Gamma} (\vec{v} \times \vec{B}) \cdot d\vec{l} = \int_{-a}^0 2Cty \vec{i} \cdot L dy \vec{i} + \int_{z=L}^0 vCt^2 a \vec{k} \cdot dz \vec{k}$$

$$\varepsilon = -2CtL \frac{a^2}{2} - vCt^2 aL$$

J.C. Jiménez Sáez  
S. Ramírez de la Piscina Millán  
U.D. Física II  
Departamento de Física Aplicada a las Ingenierías Aeronáutica y Naval

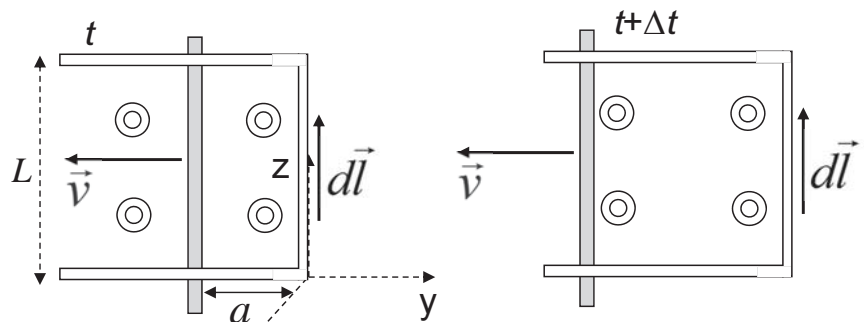


## LEY DE INDUCCIÓN DE FARADAY



### CIRCUITO DEFORMABLE EN $\vec{B}$ VARIABLE

El sentido del diferencial de superficie es el eje  $x$  positivo



$$\vec{B}(y,t) = -Ct^2 y \vec{i}$$

Otra forma:

$$\phi = \int_S \vec{B} \cdot d\vec{S} = \int_{-a}^0 -Ct^2 y L dy = Ct^2 L \frac{a^2}{2}$$

$$\varepsilon = -\frac{d\phi}{dt} = -2CtL \frac{a^2}{2} - \frac{da}{dt} Ct^2 La$$

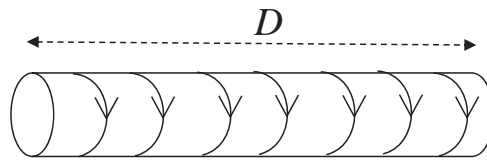
J.C. Jiménez Sáez  
S. Ramírez de la Piscina Millán  
U.D. Física II  
Departamento de Física Aplicada a las Ingenierías Aeronáutica y Naval



## COEFICIENTE DE AUTOINDUCCIÓN



### SOLENOIDE ESTRECHO Y LARGO ( $D^2 \gg S$ )



$$B = \mu_0 n I \longrightarrow \phi_{1 \text{ espira}} = \mu_0 n I S$$

$$\phi = \phi_{1 \text{ espira}} n D = \mu_0 n^2 I S D$$

$$L = \frac{\phi}{I} = \mu_0 n^2 v$$

$D$  = longitud

$S$  = área de espira

$v$  = volumen ( $DS$ )

$n$  = número de espiras por unidad de longitud

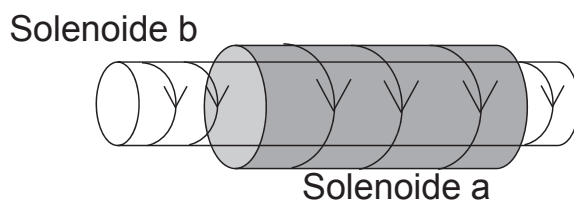
J.C. Jiménez Sáez  
S. Ramírez de la Piscina Millán  
U.D. Física II  
Departamento de Física Aplicada a las Ingenierías Aeronáutica y Naval



## COEFICIENTES DE INDUCCIÓN MUTUA



### DOS SOLENOIDES ESTRECHOS Y LARGOS



$$B_a = \mu_0 \frac{N_a}{D_a} I_a$$

Flujo que atraviesa una espira del solenoide "b" producido por "a":

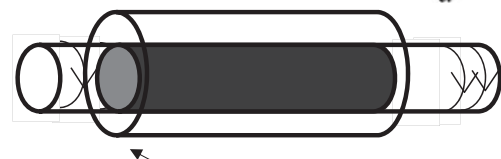
$D$  = longitud

$S$  = área de espira

$N$  = número de espiras

$$\phi_{a \rightarrow b \text{ espira}} = \mu_0 \frac{N_a}{D_a} I_a S_b$$

En total tenemos flujo en:  $\frac{N_b}{D_b} D_a$  espiras



El flujo total en "b" debido a "a":

$$\phi_{a \rightarrow b} = \mu_0 \frac{N_a}{D_a} I_a S_b \frac{N_b}{D_b} D_a = \mu_0 \frac{N_a N_b}{D_b} S_b I_a = M I_a \rightarrow M = \mu_0 \frac{N_a N_b}{D_b} S_b$$

J.C. Jiménez Sáez  
S. Ramírez de la Piscina Millán  
U.D. Física II  
Departamento de Física Aplicada a las Ingenierías Aeronáutica y Naval

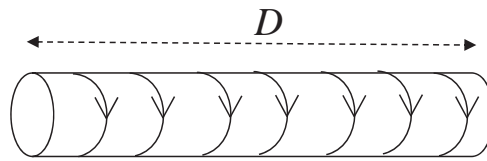




# ENERGÍA MAGNÉTICA



## SOLENOIDE ESTRECHO Y LARGO ( $D^2 \gg S$ )



$D$  = longitud

$S$  = área de espira

$v$  = volumen ( $DS$ )

$n$  = número de espiras por  
unidad de longitud

$$L = \frac{\phi}{I} = \mu_0 n^2 v$$

$$B = \mu_0 n I$$

$$U_m = \frac{1}{2} LI^2 = \frac{1}{2} \mu_0 n^2 v I^2 = \frac{1}{2\mu_0} B^2 v$$